

## تجزیه و تحلیل عملکرد کدهای کانولوشنال تعریف شده در میدان حقیقی در کanal فیدینگ و در حضور نویز کوانتیزاسیون

پائیز عزمی<sup>۱</sup> محمدمهردی سرمدی<sup>۲</sup>

۱- دانشیار مهندسی برق و کامپیوتر- دانشگاه تربیت مدرس- تهران- ایران

[Pazmi@modares.ac.ir](mailto:Pazmi@modares.ac.ir)

۲- دانش آموخته کارشناسی ارشد مهندسی برق و کامپیوتر- دانشگاه تربیت مدرس- تهران- ایران

**چکیده:** یکی از راههای مقابله با فیدینگ و نویزهای موجود در کanal مخابراتی استفاده از کدهای کanal می باشد. تاکنون بیشتر فعالیت‌های انجام شده در این زمینه مربوط به کدهای تعریف شده در میدان‌های با مرتبه محدود یا عبارت دیگر میدان‌های گالوا بوده است. سابقه کدهای تعریف شده در میدان‌های با مرتبه نامحدود مانند میدان‌های حقیقی و مختلط به بیش از دو دهه قبل باز می‌گردد؛ ولی در سالیان اخیر این موضوع بعلت قابلیت این نوع از کدها در امکان‌ذیر کردن کدینگ مشترک منبع و کanal در ارسال چند رسانه‌ای دوباره مورد توجه محققین قرار گرفته است. بر همین اساس در این مقاله یک روش جدید دکدینگ با استفاده از فیلترهای کالمن برای کدهای کانولوشنال تعریف شده در میدان حقیقی پیشنهاد می‌شود و عملکرد آن در حضور انواع اختلال‌ها همچون اثر فیدینگ و نویز کوانتیزاسیون مورد بررسی قرار می‌گیرد.

**کلمات کلیدی:** کدهای کانولوشنال ، میدان حقیقی، فیدینگ، نویز کوانتیزاسیون و فیلتر کالمن

تاریخ ارسال مقاله : ۱۳۸۵/۰۳/۱۲

تاریخ پذیرش مقاله : ۱۳۸۷/۰۹/۱۲

نام نویسنده‌ی مسئول: پائیز عزمی

نشانی نویسنده‌ی مسئول : ایران - تهران - دانشگاه تربیت مدرس - دانشکده‌ی فنی و مهندسی- بخش برق و کامپیوتر

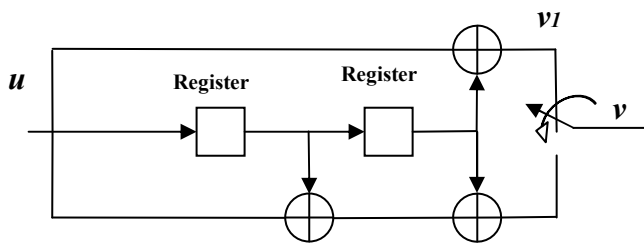
## ۱- مقدمه

کدهای کانولوشنال یک خانواده مهم از کدهای کanal می باشند که در سیستمهای مخابراتی بکار می روند. این نوع کدها بر خلاف کدهای بلوکی دارای حافظه می باشند و عموما در میدانهای گالوا با مرتبه محدود تعریف می شوند [۱]. برای اولین بار در سال ۱۹۹۳ ایده وجود کدهای کانولوشنال در میدان حقیقی توسعه فرخ مروستی معرفی گردید [۲]. سپس در سال ۱۹۹۷ روبرت ردینبو در مقاله ای نشان داد که چگونه مقادیر پریتی حاصل از این کد می تواند در حفاظت از پردازشگرهای خطی مورد استفاده قرار گیرد [۳]. در الگوریتم ارایه شده توسعه ردینبو وقتی میزان خطای گرد کردن<sup>۱</sup> در محاسبه سمبلهای پریتی از حد معینی تجاوز می کند بروز خطای آشکار شده و تخمینی از خطای بدست می آید که با کم کردن آن از مقدار دریافتی عمل تصحیح خطای انجام می گیرد. در این مقاله به نویز کanal و نویز حاصل از کوانتیزه کردن سیگنال اصلی هیچ اشاره ای نشده است [۴]. در سالیان اخیر توجه محققان زیادی به کدهای کانولوشنال در میدانهای حقیقی و مختلط جلب شده که البته تمرکز آنها بر روی کدهای بلوکی می باشد [۵-۱۳]. این نوع از کدها به دلیل امکان پذیر کردن کدینگ مشترک منبع و کanal، در ارسال سیگنالهای چندرسانه ای اهمیت شایانی یافته اند. این واقعیت ما را بر آن داشت که عملکرد کدهای کانولوشنال در میدان حقیقی را مورد مطالعه قرار دهیم. در همین چارچوب در این مقاله با فرض حضور نویز کanal و نویز کوانتیزاسیون به بررسی عملکرد کدهای کانولوشنال در میدانهای حقیقی می پردازیم. از آنجا که مراحل کد کردن اطلاعات در کدهای کانولوشنال بصورت خطی انجام می گیرد؛ فیلتر کالمن یک انتخاب مناسب برای تصحیح خطای پیش بینی ورودی دکدر خطی به نظر می رسد. بر این اساس در این مقاله یک روش جدید بر مبنای فیلتر کالمن برای دکدینگ کدهای کانولوشنال پیشنهاد شده و عملکرد آن مورد بررسی قرار می گیرد.

بدنبال این مقدمه، در بخش بعدی به بیان ساختار کد کننده کانولوشنال میدان حقیقی مورد استفاده در این مقاله می پردازیم. سپس در بخش سوم ساختار فیلتر کالمن و کد گشای پیشنهادی را ارائه می کنیم. بخش چهارم به نحوه پیاده سازی کد کانولوشنال میدان حقیقی اختصاص یافته و در بخش پنجم به ارزیابی عملکرد آن خواهیم پرداخت. در بخش ششم عملکرد کدهای کانولوشنال در میدانهای حقیقی و گالوا را مقایسه نموده و در نهایت در بخش پایانی به جمع بندی نتایج این مقاله خواهیم پرداخت.

## ۲- کد کننده اطلاعات در کدهای کانولوشنال میدان حقیقی

کد کننده های کانولوشنال را می توان به سادگی با استفاده از شیفت رجیسترها و جمع کننده ها طراحی نمود. در میدان گالوا با مرتبه ۲ جمع کننده ها از نوع باینری بوده و در میدان حقیقی جمع کننده ها این عملیات را در میدان حقیقی انجام می دهند. شکل ۱ یک نمونه از کد کننده های غیر سیستماتیک کد کانولوشنال با نرخ  $\frac{1}{2}$  را نشان می دهد. در این شکل  $u$  بردار ورودی کد کننده و  $v$  بردار خروجی اول و  $v_2$  بردار خروجی دوم کد کننده را نشان می دهد.

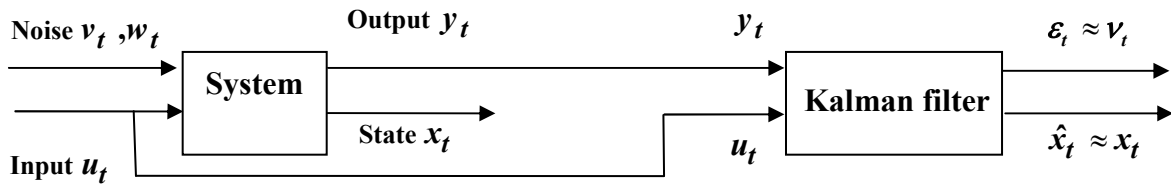


شکل (۱): یک کد کننده غیر سیستماتیک با نرخ  $\frac{1}{2}$  برای کانولوشنال

در گیرنده پس از دریافت اطلاعات کد شده عمل کد گشایی انجام می گیرد. در این مقاله برای کد گشایی کد کانولوشنال در میدان حقیقی استفاده از فیلتر کالمن پیشنهاد می شود؛ لذا در بخش بعد به مروری بر فیلتر کالمن و بررسی کد گشای پیشنهادی می پردازیم.

## ۳- فیلتر کالمن و کد گشای پیشنهادی

در بسیاری از موارد یک سیستم بصورت خطی و دینامیکی<sup>۲</sup> قابل مدل سازی می باشد که این مدل مجموعه ای از معادلات خطی است که برای توصیف حالت سیستم بر حسب زمان بکار می رود [۱۴]. منظور از حالت در اینجا برداری با  $n$  متغیر است که با معین بودن آن و با مشخص بودن ورودی سیستم، خروجی تعیین می گردد. یک سیستم خطی دینامیکی علاوه بر مدل سیستم<sup>۳</sup> شامل یک مدل اندازه گیری<sup>۴</sup> نیز می باشد. هدف از استفاده از فیلتر کالمن تخمین حالت سیستم با کمک اندازه گیری های در دسترس می باشد. در شکل ۲ شمایی کلی از عملکرد فیلتر کالمن نمایش داده شده است. همانطور که در این شکل مشاهده می شود خروجی فیلتر کالمن تخمینی از حالت سیستم می باشد.



شکل (۲): ساختار کلی عملکرد فیلتر کالمن برای تخمین حالت سیستم

عملکرد مناسب فیلتر کالمن در یک سیستم واقعی تا اندازه زیادی به انتخاب مدل خطی مناسب توسط طراح وابسته می‌باشد. در این قسمت با توجه به کدکننده مورد بررسی در این مقاله که در شکل ۱ نشان داده شده است، به تعیین مدل متضاد با آن می‌پردازیم. روابط زیر برای توصیف مدل سیستم و مدل اندازه‌گیری متضاد با کدکننده موردنظر مورد استفاده قرار می‌گیرد.

$$x_{k+1} = Ax_k + Bu_k + w_k \quad (5)$$

$$y_k = Cx_k + Du_k + v_k \quad (6)$$

در روابط بالا اسکالر  $u_k$  ورودی سیستم و  $x_{k+1}$  بودار حالت سیستم در لحظه  $k+1$  و  $y_k$  بودار مقدار اندازه‌گیری شده در لحظه  $k$  را نشان می‌دهد. متغیرهای بوداری  $w_k$  و  $v_k$  مستقل از یکدیگر، سفید و گوسی فرض می‌شوند. ماتریس کواریانس نویز فرآیند  $R$  و ماتریس کواریانس نویز اندازه‌گیری را برابر با  $R$  در نظر می‌گیریم. ماتریس‌های  $A$  و  $B$  برای بیان رابطه حالت سیستم در لحظات  $k+1$  و  $k$  و ماتریس‌های  $C$  و  $D$  رابطه بین خروجی اندازه‌گیری شده، حالت سیستم و ورودی را بیان می‌کنند. حال به محاسبه ماتریس‌های  $A$  و  $B$  و  $C$  و  $D$  در کد کانولوشنال مورد استفاده در این مقاله می‌پردازیم. با توجه به کدکننده ارایه شده در شکل ۱ بودار حالت و بودار مقدار اندازه‌گیری به صورت زیر قابل بیان می‌باشند.

$$x_{k+1} = \begin{pmatrix} u_k \\ u_{k-1} \end{pmatrix} \quad (7)$$

$$y_k = \begin{pmatrix} u_k + u_{k-2} \\ u_k + u_{k-1} + u_{k-2} \end{pmatrix} \quad (8)$$

برای محاسبه ماتریس‌های  $A$  و  $B$  و  $C$  و  $D$  با توجه به مجموعه روابط (۵)–(۶) و (۷)–(۸) داریم:

$$\begin{pmatrix} u_k \\ u_{k-1} \end{pmatrix} = \begin{pmatrix} a & b \\ c & d \end{pmatrix} \begin{pmatrix} u_{k-1} \\ u_{k-2} \end{pmatrix} + \begin{pmatrix} e \\ f \end{pmatrix} u_k \quad (9)$$

در این شکل بودار  $u_t$  ورودی سیستم می‌باشد که به عنوان سیگنال کنترل در فیلتر کالمن مورد استفاده قرار می‌گیرد. بودارهای  $v_t$  و  $w_t$  نویزهای اضافه شده به سیستم هستند که آنها را به ترتیب نویز فرآیند<sup>۷</sup> و نویز اندازه‌گیری<sup>۸</sup> می‌نامند. بودار  $y_t$  خروجی سیستم است که به عنوان مقادیر اندازه‌گیری شده مورد استفاده قرار می‌گیرد. بودار  $x_t$  هم بیانگر حالت سیستم است و هدف آن است که خروجی فیلتر کالمن ( $\hat{x}_t$ ) تخمین دقیقی از این مقدار باشد. بودار  $e_t$  خروجی دیگر فیلتر کالمن است که تخمینی از نویز اندازه‌گیری را فراهم می‌سازد.

اساس کار فیلتر کالمن بر پیش بینی متغیر مورد نظر و تصحیح این پیش بینی بنا شده است. فیلتر کالمن با توجه به مقادیر اندازه‌گیری شده که در اختیار است، ابتدا حالت سیستم را که در حقیقت حالت سیستم بعد از گذشت یک واحد زمان می‌باشد، پیش بینی می‌کند که این کمیت به تخمین پیشین<sup>۹</sup>  $\hat{x}_k^-$  معروف است. پارامترهای پیشین پارامترهایی هستند که در زمان  $k$  ام به اندازه‌گیری‌های انجام شده تا زمان  $k-1$  ام و یا ورودی‌های سیستم تا لحظه  $k-1$  ام وابسته می‌باشند. مقدار اولیه برای تخمین پیشین به علت وجود نویز همراه با خطاست و ممکن است با مقدار واقعی اختلاف زیادی داشته باشد. در قدم بعد فیلتر با استفاده از اطلاعات حاصل از مقادیر اندازه‌گیری جدید، شروع به تصحیح مقدار پیش‌بینی شده می‌نماید و در پایان تخمینی را ارائه می‌نماید که تخمین پیشین<sup>۱۰</sup>  $\hat{x}_k^+$  خوانده می‌شود.

بعد از انجام تخمین نیاز است تا عملکرد فیلتر کالمن در هر مرحله مورد ارزیابی قرار گیرد؛ لذا برای ارزیابی میزان خطای مقدار خطا پیشین<sup>۱۱</sup> و پیشین<sup>۱۲</sup> بصورت زیر تعریف می‌گردد.

$$e_k^+ = x_k - \hat{x}_k^+ \quad (1)$$

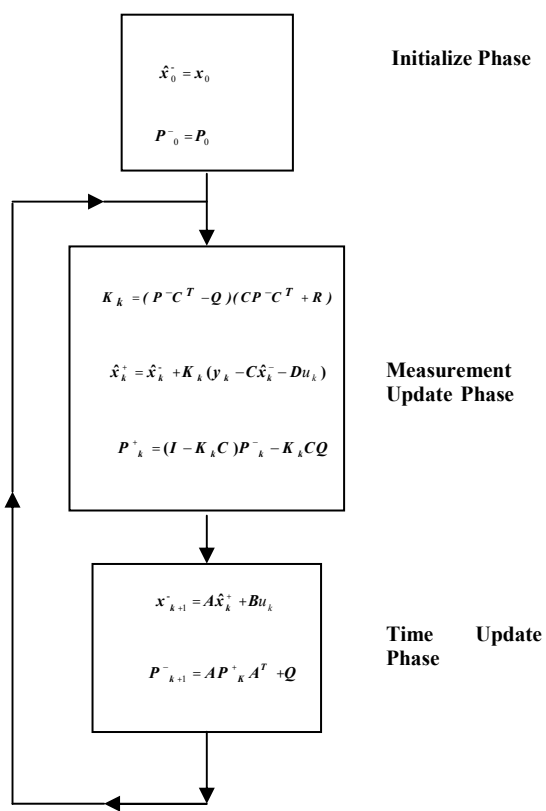
$$e_k^- = x_k - \hat{x}_k^- \quad (2)$$

بر مبنای تعاریف فوق مقادیر کواریانس خطای تخمین پیشین<sup>۱۳</sup> و پیشین<sup>۱۴</sup> هم بر اساس روابط زیر قابل محاسبه می‌باشند.

$$P_k^- = E \left[ e_k^- e_k^{T-} \right] \quad (3)$$

$$P_k^+ = E \left[ e_k^+ e_k^{T+} \right] \quad (4)$$

جدول (۱): فلوچارت الگوریتم فیلتر کالمن



$$\begin{pmatrix} u_k + u_{k-2} \\ u_k + u_{k-1} + u_{k-2} \end{pmatrix} = \begin{pmatrix} g & h \\ i & j \end{pmatrix} \begin{pmatrix} u_{k-1} \\ u_{k-2} \end{pmatrix} + \begin{pmatrix} k \\ l \end{pmatrix} u_k \quad (10)$$

با حل معادلات حاصل از روابط (۹) و (۱۰) ماتریس‌های مورد نظر بصورت زیر محاسبه می‌شوند.

$$A = \begin{pmatrix} 0 & 0 \\ 1 & 0 \end{pmatrix} \quad (11)$$

$$B = \begin{pmatrix} 1 \\ 0 \end{pmatrix} \quad (12)$$

$$C = \begin{pmatrix} 0 & 1 \\ 1 & 1 \end{pmatrix} \quad (13)$$

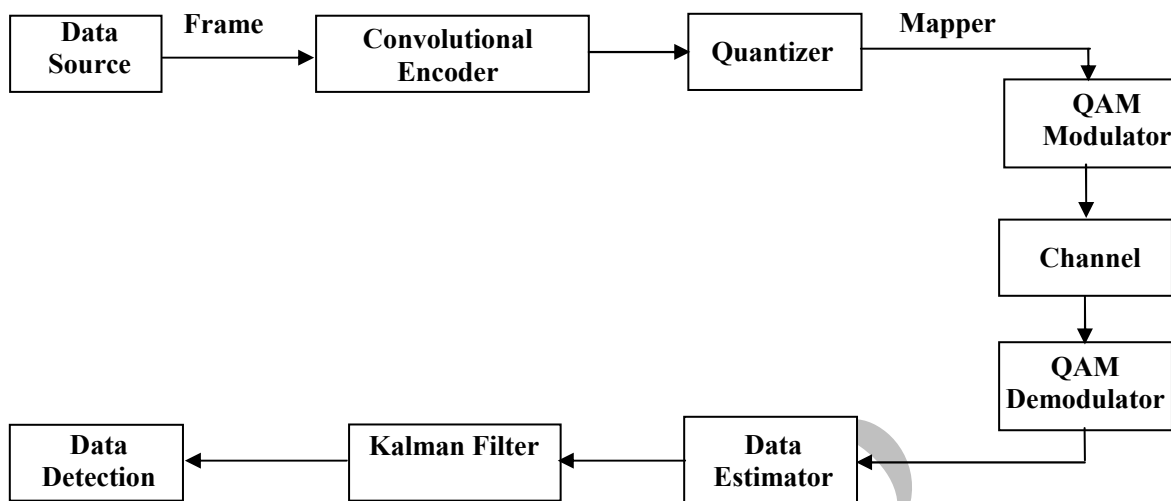
$$D = \begin{pmatrix} 1 \\ 1 \end{pmatrix} \quad (14)$$

حال با کمک مقادیر حاصل می‌توان به پیاده سازی الگوریتم کالمن برای کد گشایی کد کانولوشنال پرداخت. در اینجا مجدد تأکید می‌کنیم که مقادیر حاصل برای ماتریس‌های  $A$  و  $B$  و  $C$  و  $D$  مربوط به کد کننده ارایه شده در شکل ۱ می‌باشد و برای سایر کدکننده‌ها ماتریس‌های متفاوتی بدست می‌آید.

فلوچارت الگوریتم کالمن در جدول ۱ نشان داده شده است [۱۵]. در این فلوچارت مراحل انجام الگوریتم فیلتر کالمن ملاحظه می‌گردد. پس از تخمین اولیه، در مرحله دوم ماتریس  $K$  که بهره فیلتر کالمن می‌باشد را به صورتی بدست می‌آوریم که کواریانس خطای تخمین حداقل گردد. سپس با کمک بهره فیلتر کالمن، تخمین پسین و کواریانس خطای تخمین پسین در لحظه  $k$  ام را محاسبه می‌نماییم. در مرحله بعد به محاسبه تخمین حالت پیشین و کواریانس خطای تخمین پیشین در لحظه  $k+1$  ام پرداخته و به صورت تکراری به مرحله دوم می‌رویم و انجام الگوریتم به همین ترتیب ادامه پیدا می‌کند.

#### ۴- پیاده سازی کد کانولوشنال میدان حقیقی

در شکل ۳ بلوک دیاگرام سیستم مخابراتی مورد استفاده در شبیه‌سازیها نشان داده شده است. اطلاعات خروجی از منبع به طور پیوسته وارد کدکننده نمایش داده شده در شکل ۱ با نرخ  $1/2$  شده



شکل (۳): بلوک دیاگرام سیستم مخابراتی مورد استفاده در بررسی عملکرد کد کانولوشنال حقيقی

حقيقی و دکر پیشنهادی می پردازیم. لازم به ذکر است که برای کاهش عدم قطعیتی که بدلیل انتخاب تصادفی سمبولهای ارسالی و ساختار تصادفی کانال در محاسبه متوسط مربع خطای نرمال شده توسط شبیه سازی ایجاد می گردد، در همه موارد این کمیت (متوسط مربع خطای نرمال شده) برای ۱۰۰۰ تحقیق مختلف و مستقل محاسبه گردیده و نتایج ارائه شده در این مقاله از متوسط گیری عددی آن نتایج حاصل شده است.

## ۵- بررسی شبیه سازی ها و ارزیابی عملکرد کد گشای پیشنهادی

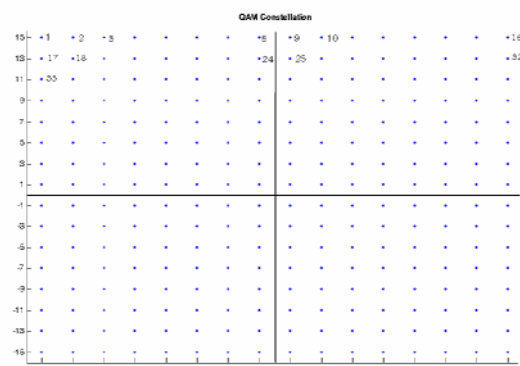
برای بکارگیری الگوریتم فیلتر کالمون و با توجه به مدل مورد استفاده لازم است که از ورودی کنترلی استفاده شود. نحوه ارایه ورودی کنترلی  $u_t$  به فیلتر کالمون در شکل ۲ نشان داده شده است. این ورودی در حقیقت همان ورودی اعمال شده به کد کننده است، اما در گیرنده این ورودی را در دسترس نداریم؛ لذا بر اساس روابط مورد استفاده در محاسبه کلمات کد و با استفاده از سمبول های دریافتی، تخمینی را از ورودی اولیه بدست می آوریم. ساده ترین روش برای تخمین، استفاده از همان رابطه کد کننده می باشد. معادله مربوط به کد کننده شکل ۱ در رابطه (۱۵) ذکر شده است.

$$\begin{pmatrix} v_{1k} \\ v_{2k} \end{pmatrix} = \begin{pmatrix} u_k + u_{k-2} \\ u_k + u_{k-1} + u_{k-2} \end{pmatrix} + \begin{pmatrix} 1 \\ 1 \end{pmatrix} u_k \quad (15)$$

در رابطه بالا مقادیر  $v_{1k}$  و  $v_{2k}$  داده های دریافتی در گیرنده در لحظه  $k$  می باشند. بر این اساس تخمین اولیه  $u_k$  را با استفاده از رابطه زیر بدست می آوریم.

$$\hat{u}_k = \frac{(v_{1k} - u_{k-2})}{2} \quad (16)$$

مناسب که در شکل ۴ مشاهده می شود را به عنوان طرح Constellation مورد استفاده در این مقاله انتخاب نمودیم. در شکل ۴ مذکور شماره های قرار داده شده روی نقاط نشان دهنده نگاشت داده های کوانتیزه شده می باشد؛ بدین ترتیب که مقادیر بین کمینه و بیشینه دامنه داده های ورودی را به ۲۵۶ سطح کوانتیزه نموده و به ترتیب به هر یک عددی از ۱ تا ۲۵۶ نسبت می دهیم، به عنوان مثال عدد ۱۸ که بر روی یکی از نقاط Constellation نوشته شده است بدین معنی است که اگر مقدار مورد نظر برای ارسال در کانال برابر با داده ای باشد که عدد هجده به آن نسبت داده شده است آنگاه مقادیر متناظر با دو مقدار (۱۳ و ۱۴) به کانال ارسال می گردد. حال پس از مدولاسیون، سمبولهای ارسالی وارد کانال شده و در کد گشای سه کمک فیلتر کالمون حالت کد کننده تخمین زده می شود که این حالت با یک تاخیر زمانی، ورودی لحظه قبل کد کننده می باشد.



شکل (۴): منتخب مورد استفاده در شبیه سازی های این مقاله

در بخش بعد با محاسبه متوسط مربع خطای نرمال شده برای حالت کد شده و کد نشده به ارزیابی عملکرد کد کانولوشنال در میدان

با ارایه این مقادیر به فیلتر کالمن، تخمین اولیه بهبود یافته و یک تخمین مناسب از داده‌های ورودی تولید می‌گردد. در این صورت خروجی فیلتر کالمن داده‌های کدگشایی شده خواهد بود.

حال به بررسی اثرات نویزهای حاصل از فرآیند کواتریزاپیون و کانال می‌پردازیم. برای انجام شبیه‌سازی‌های اولیه طول بلوک ورودی به کدکننده را  $100$  سمبل در نظر می‌گیریم. متوسط مربع خطای برای حالات کد شده و کد نشده در شکل ۵ نشان داده شده است. همانطور که مشاهده می‌شود حالت کد شده عملکرد مناسبی نسبت به حالت کد نشده دارد. به عنوان مثال در متوسط مربع خطای برابر با  $10^{-3}$ ، سیگنال به نویز مورد نیاز برای حالت کد شده  $4\text{dB}$  کمتر از میزان مورد نیاز برای حالت کد نشده می‌باشد.

در حالت قبل تخمین ساده ورودی‌ها به عنوان سیگنال کنترلی مورد استفاده قرار گرفت حال خروجی فیلتر کالمن را که تخمین بسیار بهتری است به عنوان سیگنال کنترلی مورد استفاده قرار می‌دهیم. از نتایج شبیه‌سازی‌ها که در شکل ۶ نشان داده شده است، مشاهده می‌شود که تغییر کمی در میزان متوسط مربع خطای حاصل شده است؛ لذا استفاده از تخمین ساده ارایه شده در رابطه (۱۶) موجه می‌باشد.

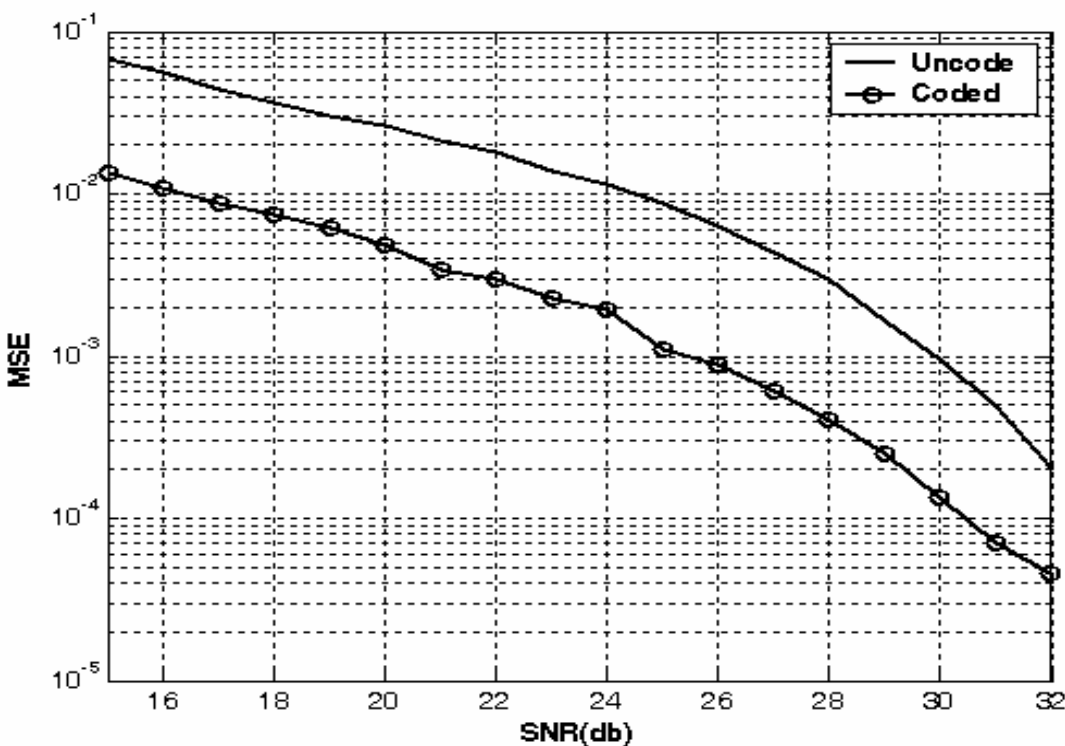
حال به بررسی تاثیر افزایش طول بلوک ورودی می‌پردازیم. برای

این منظور متوسط مربع خطای نرمال شده برای طول‌های بلوک  $10$  و

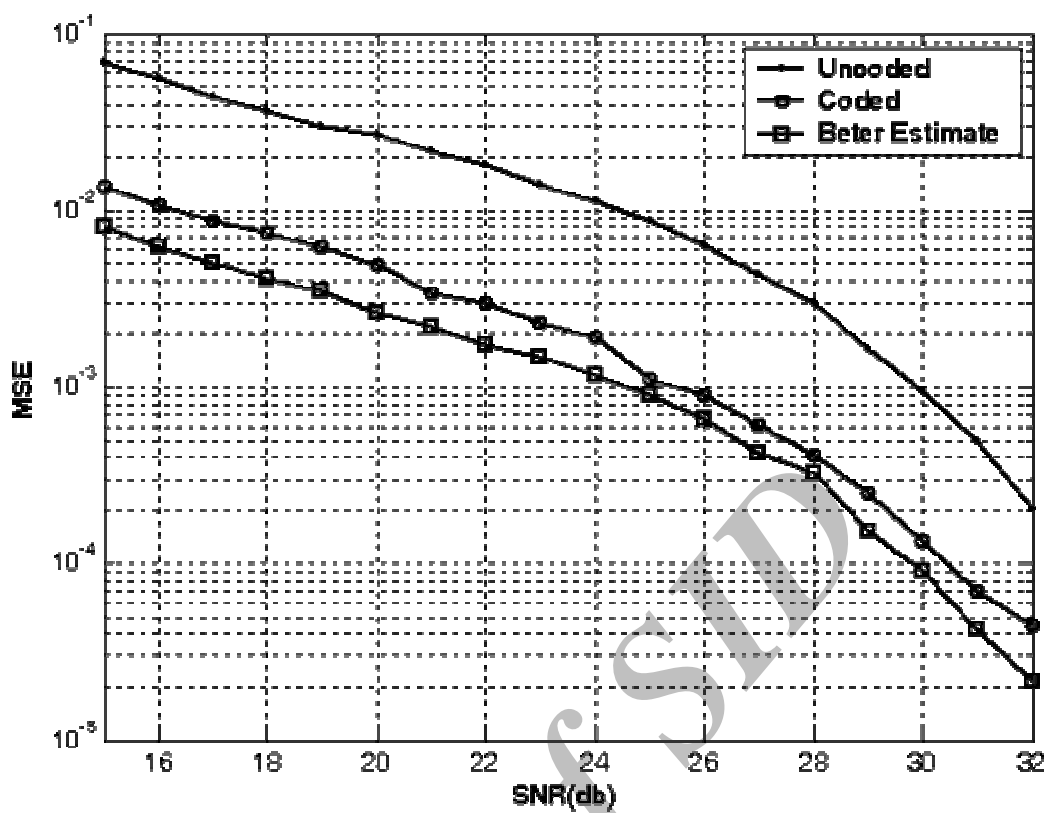
$100$  می‌بریم. برای انجام شبیه‌سازی‌های اولیه طول بلوک ورودی به کدکننده را  $100$  سمبل در نظر می‌گیریم. متوسط مربع خطای برای حالات کد شده و کد نشده در شکل ۵ نشان داده شده است. همانطور که مشاهده می‌شود حالت کد شده عملکرد مناسبی نسبت به حالت کد نشده دارد. به عنوان مثال در متوسط مربع خطای برابر با  $10^{-3}$ ، سیگنال به نویز مورد نیاز برای حالت کد شده  $4\text{dB}$  کمتر از میزان مورد نیاز برای حالت کد نشده می‌باشد.

در حالت قبل تخمین ساده ورودی‌ها به عنوان سیگنال کنترلی مورد استفاده قرار گرفت حال خروجی فیلتر کالمن را که تخمین بسیار بهتری است به عنوان سیگنال کنترلی مورد استفاده قرار می‌دهیم. از نتایج شبیه‌سازی‌ها که در شکل ۶ نشان داده شده است، مشاهده می‌شود که تغییر کمی در میزان متوسط مربع خطای حاصل شده است؛ لذا استفاده از تخمین ساده ارایه شده در رابطه (۱۶) موجه می‌باشد.

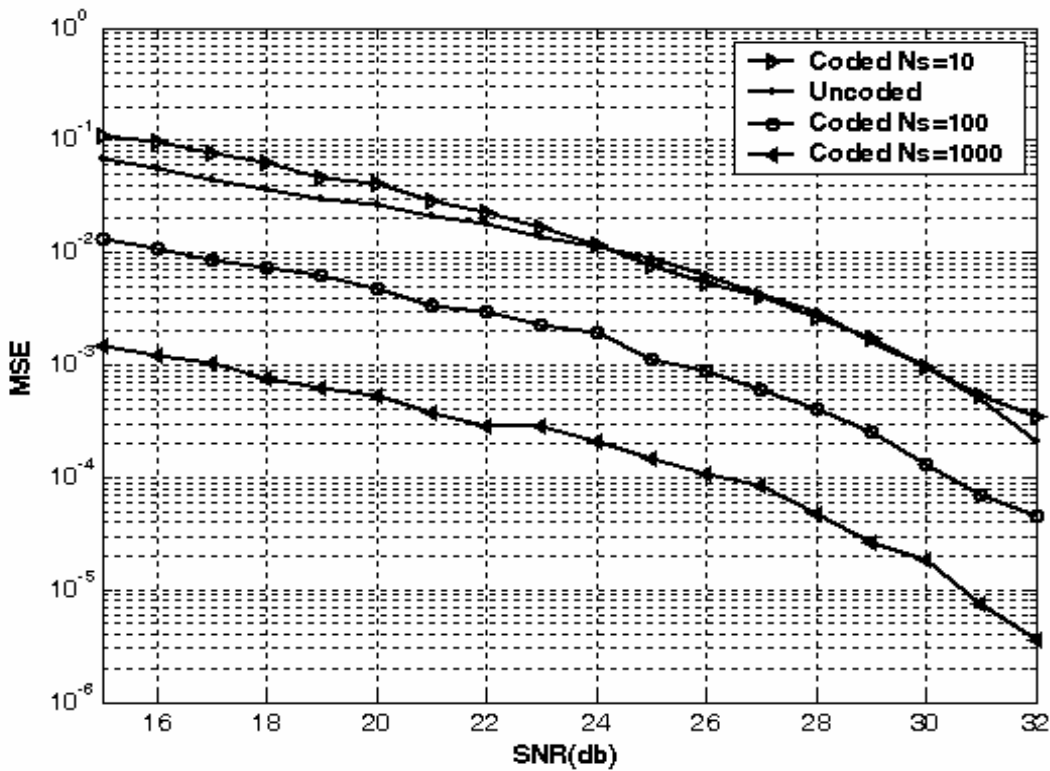
حال به بررسی تاثیر افزایش طول بلوک ورودی می‌پردازیم. برای این منظور متوسط مربع خطای نرمال شده برای طول‌های بلوک  $10$  و



شکل (۵): مقایسه متوسط مربع خطای نرمال شده برای حالت کد شده و کد نشده



شکل (۶): مقایسه متوسط مربع خطای نرمال شده برای حالت‌های مختلف تخمین سیگنال کنترل در الگوریتم کالمن



شکل (۷): مقایسه متوسط مربع خطای نرمال شده برای حالاتی که طول بلوک داده‌های ورودی به کد کننده برابر با ۱۰، ۱۰۰ و ۱۰۰۰ می‌باشد.

$$K_f = \frac{a^2}{2\delta^2} \quad (20)$$

در واقع پارامتر  $K_f$  بیانگر نسبت توان دید مستقیم به توان دریافت شده از طریق انعکاس و یا پراش سیگنال ارسالی در کanal رادیویی می باشد.

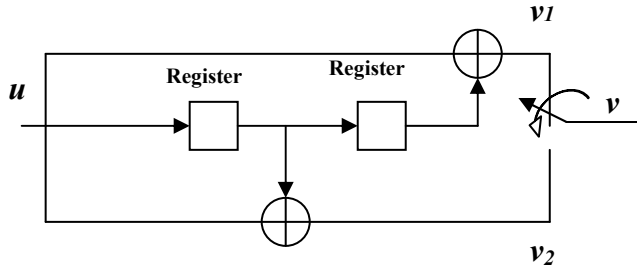
با فرض عبور سمبول های کد شده از این کanal به ارزیابی تاثیر کanal فیدینگ بر عملکرد کd کانولوشنال می پردازیم. شکل ۱۱ متوجه مربع خطا برای پارامترهای فیدینگ  $K_f = 3, 1, 0.5$  را نشان می دهد. در کanal فیدینگ برای محاسبه پارامتر فیدینگ، در رابطه  $\delta^2$  یا واریانس هر یک از مولفه های ضرب فیدینگ  $c(t)$  که یک فرایند تصادفی مختلط است) برابر  $0.5$  در نظر گرفته شده است. مشاهده می شود که وقتی مقدار پارامتر فیدینگ خیلی بزرگتر از صفر است فیدینگ تاثیر چندان زیادی بر عملکرد سیستم کد شده ندارد و هرچه مقدار این پارامتر کمتر می شود تاثیر مخرب فیدینگ بیشتر نمایان می شود. به عنوان مثال در MSE در حدود  $10^{-3}$  تاثیر کanal فیدینگ با پارامترهای  $K_f = 0.5$  و  $K_f = 3$  روی سیگنال به نویز مورد نیاز بیشتر از  $4\text{dB}$  تفاوت دارد.

#### ۴- مقایسه عملکرد کd کانولوشنال در میدان های حقیقی و گالوا

در این قسمت هدف مقایسه عملکرد کدهای کانولوشنال میدانهای حقیقی و گالوا با ساختار کدگذار یکسان می باشد. در ابتدا یادآور می شویم که در یک سیستم مخابرات دیجیتال اطلاعات قبل از مدولاسیون و ارسال به کanal باید کوانتیزه شود. سیستم مخابراتی که از کd میدان حقیقی استفاده می کند نیز از این قاعده مستثنی نیست. بعبارت دقیقت در صورتیکه از کd کانولوشنال میدان حقیقی استفاده شده و نرخ داده میدان حقیقی اولیه  $R$  بوده و نرخ کd فرض گردد نرخ داده کd شده  $R/r$  سمبول بر ثانیه بوده و در صورت استفاده از کوانتیزاسیون  $n$  بیتی نرخ داده ارسال شده به کanal  $nR/r$  خواهد بود. در صورتیکه از کدهای میدان گالوا با نرخ  $r$  استفاده گردد ابتدا باید داده میدان حقیقی اولیه با  $n$  بیت کوانتیزه شده و سپس کd شود و در نتیجه نرخ داده ارسال شده به کanal در این حالت نیز  $nR/r$  خواهد بود. لذا همانطور که ملاحظه می گردد در صورت استفاده از کوانتیزاسیون و نرخ کd یکسان پهنانی باند مورد نیاز هر دو نوع کd میدان حقیقی و گالوا یکسان خواهد بود.

نکته دیگری که در مقایسه عملکرد کدهای کانولوشنال میدانهای حقیقی و گالوا با ساختار کدگذار یکسان باید مورد توجه قرار گیرد بیچیدگی عملیات کدگذاری و دکدینگ می باشد. همانطور که در بخش ۲ اشاره شد ساختار کدگذار در هر دو نوع کd میدان حقیقی و گالوا یکسان است و عملیات مورد نیاز در آنها مشابه می باشد. تنها تفاوت در آن است که در کدگذار میدان گالوا از جمع کننده میدان

$$\mathbf{C} = \begin{bmatrix} 0 & 1 \\ 1 & 0 \end{bmatrix} \quad (17)$$



شکل (۸): یک کدکننده غیرسیستماتیک با نرخ  $1/2$  برای کd کانولوشنال

با فرض ۱۰۰ تایی بودن طول بلوک داده های ورودی به کدکننده به مقایسه متوجه مربع خطای نرمال شده برای کدکنندهای شکلهای ۸ و ۹ می پردازیم. همانطور که در شکل ۹ ملاحظه می گردد عملکرد کd کانولوشنال با کd کننده اخیر بهبود یافته است. بطور دقیقت روش اخیر نسبت به روش قبل در MSE در حدود  $10^{-3}$  بیش از  $3\text{dB}$  بهتر عمل می کند. این مقایسه برای طول بلوک های ورودی ۱۰ تایی و ۱۰۰ تایی هم انجام گرفته است که نتایج در شکل ۱۰ ملاحظه می گردد. به نظر می رسد بهبود عملکرد در استفاده از ساختار کd کننده شکل ۸ به این دلیل است که در این ساختار تاثیر شیفت رجیسترها نسبت به ساختار کd کننده شکل ۱ کمتر می باشند و از آنجا که در تخمین مقادیر شیفت رجیسترها با خطای روبرو هستیم استفاده کمتر از آنها باعث بهبود عملکرد می گردد.

در انتها به بررسی عملکرد کd کانولوشنال حقیقی در کanal فیدینگ می پردازیم. در شبیه سازی ها از مدل فیدینگ صاف با توزیع رایس<sup>۱۵</sup> برای دامنه سیگنال دریافتی از کanal فیدینگ استفاده شده است. در یک کanal با فیدینگ غیر انتخاب فرکانسی سیگنال باند پایه دریافتی به صورت زیر خواهد بود:

$$r(t) = c(t)s(t) + n(t) \quad (18)$$

که در آن  $r(t)$  سیگنال باند پایه دریافتی و  $s(t)$  سیگنال باند پایه ارسالی و  $n(t)$  نویز سفید جمع شونده گوسی (AWGN) می باشد و همچنین  $c(t)$  یک فرایند تصادفی مختلط است که در کanal رایس بصورت زیر مدل می گردد

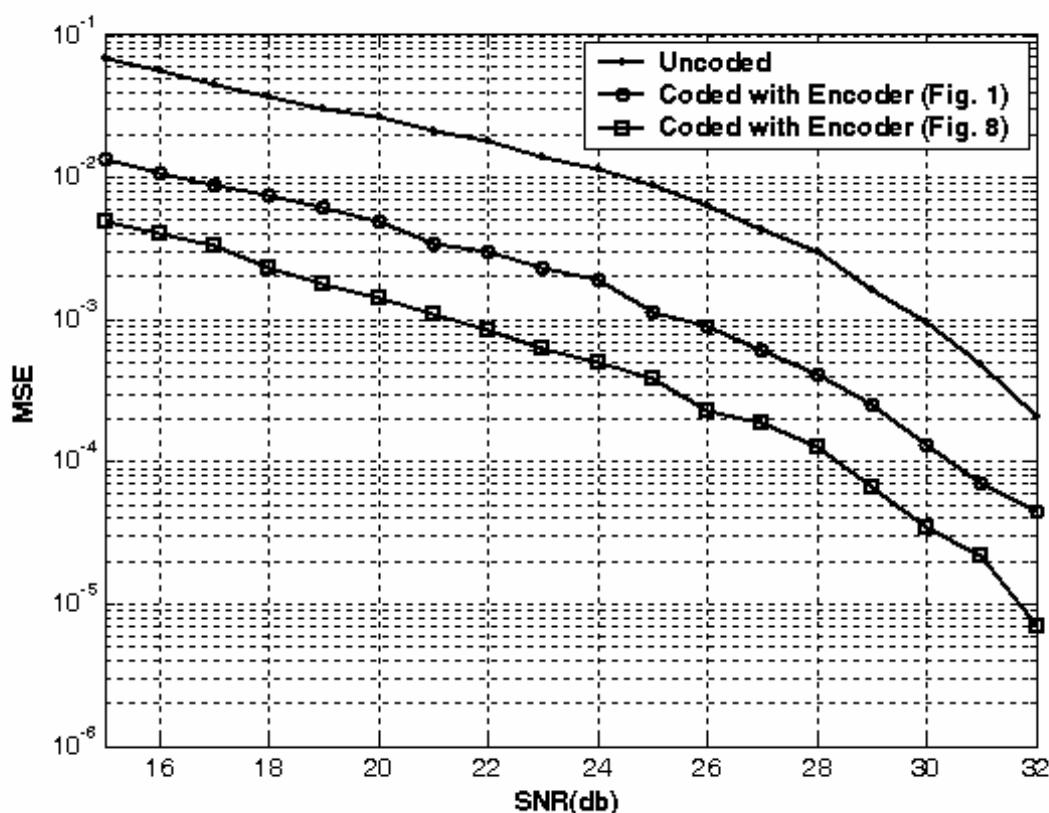
$$c(t) = a + u(t) + jv(t) \quad (19)$$

در رابطه فوق  $a$  یک مقدار ثابت بوده و  $j = \sqrt{-1}$  است و  $u(t)$  و  $v(t)$  فرآیند های سفید گوسی با میانگین صفر و واریانس  $\delta^2$  می باشند. برای آنکه معیاری برای ارزیابی عمق فیدینگ رایس داشته باشیم پارامتر  $K_f$  را به صورت زیر تعریف می کنیم.

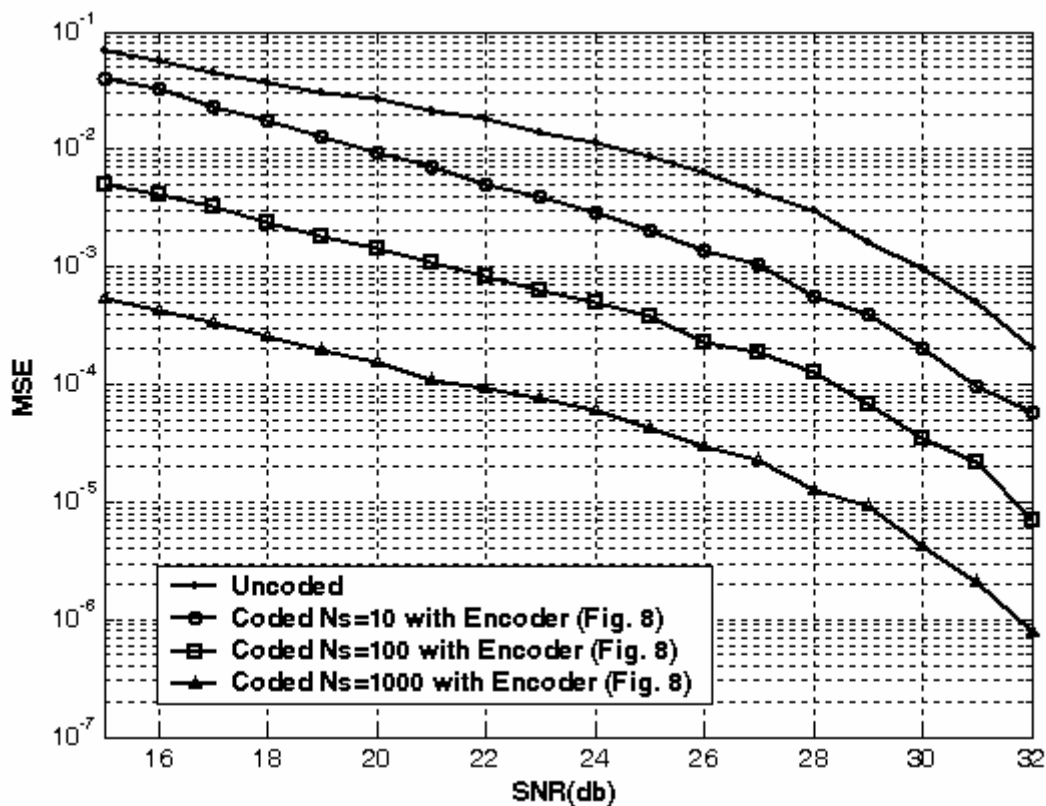
گفت که پیچیدگی کدهای کانولوشنال در میدان گالوا و میدان حقیقی در بسیاری از موارد قابل مقایسه می باشد.

بلوک دیاگرام کدگذار مورد استفاده در میدان گالوا مشابه شکل ۱ می باشد و تنها تفاوت در آن است که جمع کننده در میدان باینری عمل می کند. در پیاده سازی ابتدا داده های حقیقی به ۲۵۶ سطح کوانتیزه شده و معادل با هر یک از داده های کوانتیزه شده یک عدد باینری ۸ بیتی منحصر به فرد اختصاص می یابد. داده های باینری تولید شده به کد کننده مورد نظر در میدان گالوا ارسال می گردد. پس از کدگذاری و استفاده از کانالی شبیه به کانال مورد استفاده در شبیه سازی های قبلی، اطلاعات در طرف گیرنده دریافت و عمل کدگشایی روی داده ها انجام می گیرد. مقادیر کدگشایی شده مقادیر باینری هستند و با جایگذاری معادل حقیقی آنها، متوسط مربع خطأ نسبت به داده های اولیه محاسبه می گردد. نتیجه مقایسه کدهای کانولوشنال در میدانها حقیقی و گالوا در شکل ۱۲ ملاحظه می گردد. می توان دید که عملکرد کد در میدان های حقیقی با معیار متوسط مربع خطأ بهتر از کد معادل در میدان گالواست. این نتیجه به آن دلیل است که در مقایسه MSE، مکان ارزشی بیت خطأ شده اهمیت زیادی در تغییر متوسط خطأ دارد و با بروز خطأ در بیتهای با ارزش بالا، خطای زیادی ایجاد می گردد.

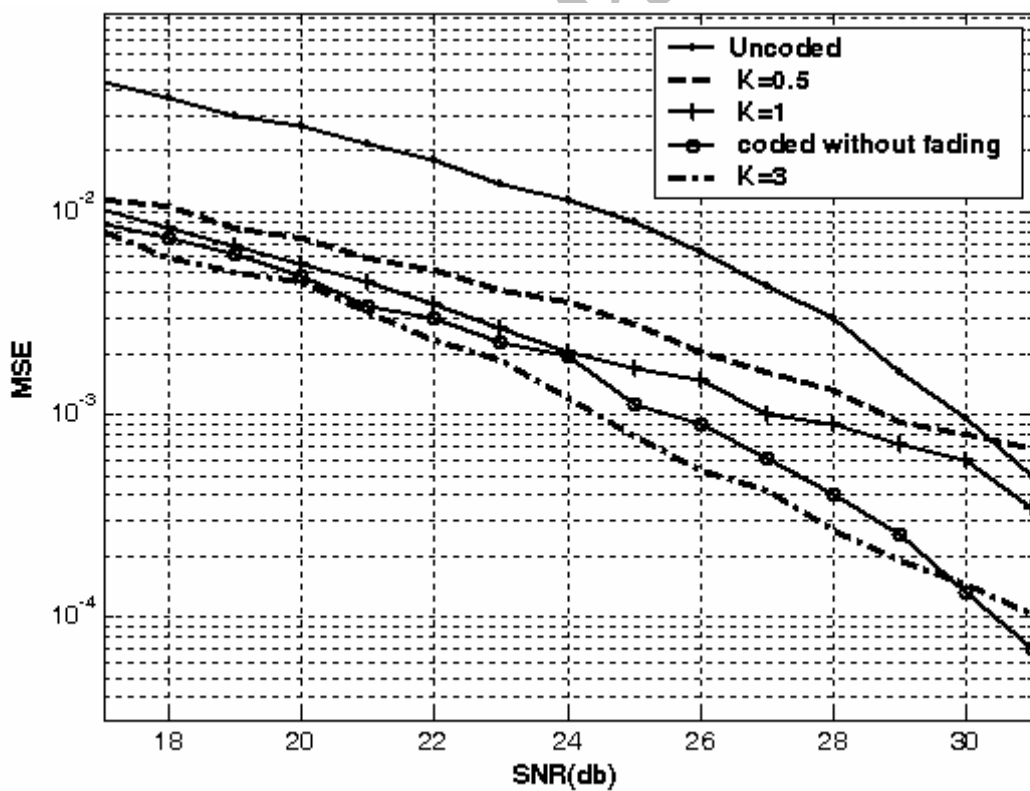
گالوا استفاده شده و در کدگذار میدان حقیقی از جمع کننده میدان حقیقی استفاده می گردد. تفاوت عمده میان دو نوع کد از لحاظ پیچیدگی مربوط به عملیات دکدینگ می باشد. در صورت استفاده از کدهای میدان گالوا روش دکدینگ بر مبنای الگوریتم معروف ویتری معمول می کند و در صورت استفاده از کدهای میدان حقیقی دکدینگ با استفاده از روش پیشنهادی بر مبنای الگوریتم کالمون عمل می کند. همانطور که می دانیم پیچیدگی الگوریتم ویتری با افزایش مجموع حافظه (جمع تعداد رجیستر ها) و تعداد ورودی های کدگذار بصورت نمایی افزایش می یابد [۱]. مرتبه پیچیدگی محاسباتی الگوریتم کالمون (در بدترین حالت) با توان ۶ از تعداد حالتها که معادل جمع تعداد رجیستر ها است افزایش می یابد [۱۶]. عبارت دیگر در کدهای با حافظه بالا و یا تعداد ورودی های بالا الگوریتم دکدینگ پیشنهادی دارای پیچیدگی بسیار کمتری نسبت به الگوریتم ویتری است. در کدهای با حافظه کم مانند موارد مورد بحث در این مقاله پیچیدگی الگوریتم ویتری کمتر می باشد. البته در همه شرایط میزان پیچیدگی وابستگی شدیدی به ساختار کدگذار مورد استفاده داشته و نمی توان مقایسه جامعی انجام داد. علاوه بر این الگوریتم های متعددی برای کاهش پیچیدگی محاسباتی الگوریتم های کالمون و ویتری پیشنهاد شده است که با توجه به نوع کدگذار مورد استفاده می توان از هر یک استفاده نمود [۱۷-۱۹]. از مجموع مباحث فوق بطور خلاصه می توان



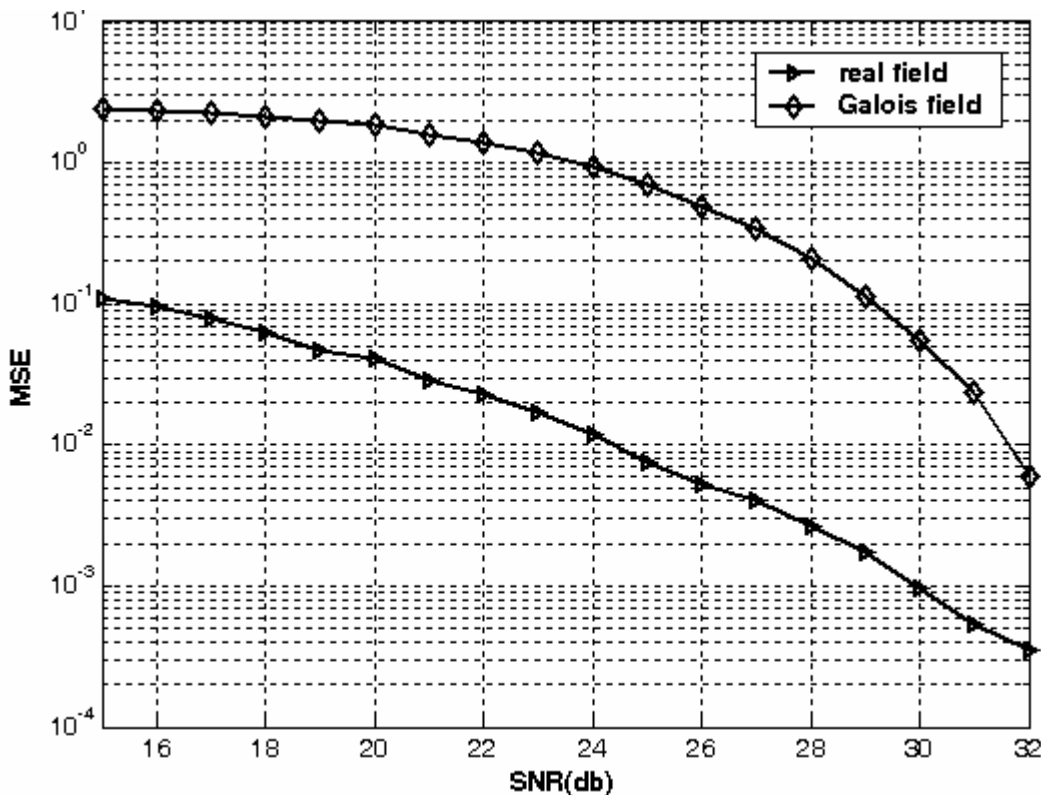
شکل (۹): مقایسه متوسط مربع خطأ برای کدکننده های شکل های ۸ و ۱



شکل (۱۰): مقایسه متوسط مربع خطأ برای کد کننده شکل ۸ برای سمبلهای ورودی به کد با طول بلوک های  $10^1$ ,  $10^2$  و  $10^3$



شکل (۱۱): مقایسه متوسط مربع خطأ برای کد کانولوشنال و در کانال های فیدینگ با مقادیر مختلف پارامتر  $K_f$



شکل (۱۲): مقایسه عملکرد کد کانولوشنال در میدان گالوا و میدان حقیقی

## مراجع

- [1] Lin S. and Costello J., "Error Control Coding: Fundamentals and application", Prentice-Hall, 2004.
- [2] Marvasti F. and Nafie M., "Sampling theorem: a unified outlook on information theory, block And convolutional codes," IEICE Trans. Fundamentals, vol. E76-A, no. 9, Sep. 1993.
- [3] Redinbo G. R., "Decoding real-number convolutional codes: change detection, Kalman estimation," IEEE Trans. Inform. Theory, vol. 43, no. 6, Nov. 1997.
- [4] Redinbo G. R., "Generalized algorithm-based fault tolerance: error correction via Kalman estimation," IEEE Trans. Comp., vol. 47, no. 6, June 1998.
- [5] Azmi P. and Marvasti F., "A Pseudo-Inverse based iterative decoding method for DFT codes in erasure channels," IEICE Trans. on Com, vol. E87-B, no. 10, pp. 3092-3095, 2004.
- [6] Azmi P. and Marvasti F., "Robust decoding of DFT-Based error control codes for impulsive and additive white gaussian noise channels," IEE Proceedings, Communications, vol. 152, issue 3, pp. 265-271, June 2005.
- [7] عزمی پائیز و سرمدی محمد مهدی, "تجزیه و تحلیل عملکرد کد بلوکی DFT در کانال فیدینگ و در حضور نویز کوانتیزاسیون" نشریه مهندسی برق و مهندسی کامپیوتر ایران, سال ۵, شماره ۳, صفحات ۱۵۵-۱۶۳, پائیز ۱۳۸۶.
- [8] Borodin, L. F. "Correcting codes over the real number field," Journal of communications technology & electronics, vol. 48, n°8, pp. 896-902, 2003.
- [9] Rath G. and Guillemot C., "Recent advances in DFT codes based quantized frame expansions for erasure

## ۵- نتیجه‌گیری

در این مقاله ضمن بررسی عملکرد کدهای کانولوشنال میدان حقیقی در حضور نویز کوانتیزاسیون و اختلالات ناشی از کانال فیدینگ یک روش جدید برای کدگشایی در میدانهای حقیقی پیشنهاد گردید. کدگشایی پیشنهادی دارای ساختاری از نوع فیلتر کالمن است. نتایج شبیه‌سازیها نشان میدهد که استفاده از کد کانولوشنال با کدگشایی پیشنهادی، عملکرد حالت کد نشده را بهبود می‌دهد.

همچنین مشاهده گردید که با افزایش طول بلوک ورودی به کدکننده، به علت بالا رفتن سمبلهای افروندگی و ارایه تخمین بهتر توسط فیلتر کالمن، کدینگ کانولوشنال عملکرد بهتری را از خود نشان می‌دهد. همینطور نشان داده شد که عملکرد کد کانولوشنال در میدانهای حقیقی با معیار متوسط مربع خطأ بهتر از کد معادل در میدان گالوا می‌باشد.

## قدرتانی و تشکر

بخشی از این مقاله در راستای انجام طرح شماره ۸۴۰۹۴/۲۴ استفاده از پشتیبانی صندوق حمایت از پژوهشگران کشور انجام شده است.

channels," Digital Signal Processing, vol. 14, Issue 4, ,p. 332-354, July 2004,

- [10] Momenai A. and Talebi S., "Improving the stability of DFT error recovery codes by using sparse oversampling patterns," Signal Processing vol. 87, Issue 6, pp 1448-1461, June 2007.
- [11] Vieira J. M. N., Santos D. M. S. , and Ferreira .P. J. S. G., "Error detection with real-number codes based on random matrices," In Proceedings of the 12th IEEE Digital Signal Processing Workshop, DSPW-2006, pp. 526-530, Sep. 2006.
- [12] Gabay A., Kieffer M., and Duhamel P., "Joint Source-Channel Coding Using Real BCH Codes for Robust Image Transmission," IEEE Transactions on Image Processing, vol. 16, Issue 6, pp. 1568 – 1583, June 2007.
- [13] Yeun-Renn T., and Chiou-Yng, "A complex-valued cyclic code using fast Fourier transform," in proceeding of IEEE Third Workshop on Signal Processing Advances in Wireless Communications, pp. 271 - 274, 2001
- [14] Gustafsson F., Adaptive Filtering and Change Detection, John Wiley & Sons, LTD, 1st, 2000.
- [15] Grewal M. and Andrews A., Kalman Filter: theory and practice, Prentice-Hall, Inc., Englewood Cliffs, New Jersey 1993.
- [16] Goris, M.J.; Gray, D.A.; Mareels, I.M.Y., "Reducing the computational load of a Kalman filter," IEE Electronics letters, vol. 33, issue 18, pp. 1539-1541, Aug. 1997.
- [17] Simon, D., Optimal State Estimation: Kalman, H-infinity, and Nonlinear Approaches, John Wiley & sons, 2006.
- [18] Zarchan, P., Musoff, H., Fundamentals of Kalman Filtering: A Practical Approach, American Institute of Aeronautics and Astronautics (AIAA), 2005.
- [19] Sikora, M., Reduced-Complexity Algorithms for Decoding and Equalization, PhD thesis, Notre Dame Indiana, May 2008.

زیرنویسها

<sup>1</sup> G. Robert Redinbo

<sup>2</sup> Parity

<sup>3</sup> Round off noise

<sup>4</sup> Linear dynamic system

<sup>5</sup> System model.

<sup>6</sup> Measurement model.

<sup>7</sup> Process noise.

<sup>8</sup> Measurement noise

<sup>9</sup> Priori estimate

<sup>10</sup> Posteriori estimate

<sup>11</sup> Prior error.

<sup>12</sup> Posterior error.

<sup>13</sup> Prior estimate error covariance

<sup>14</sup> Posterior estimate error covariance

<sup>15</sup> Rice Distribution